

III-314 盛土による軟弱地盤の変形解析

京都大学 正員 深川 良一
京都大学 正員 島 昭治郎
京都大学 正員 太田 秀樹

1. はじめに 有限要素法を用いた盛土基礎地盤の変形解析を行
い、盛土補強工としての帶鋼の効果、現場の表層である軟弱Tドビ
ト層の層厚の影響および盛土速度の影響について考慮を加えた。

2. 解析対象地盤 解析は道央自動車道利根一岩見沢沢門江別試験段
盛土地盤を対象として行った。盛土がTドビト層の間に砂層の介在する軟弱地盤で
あり、盛土のすべり破壊を防止するせん断強さ補強と同様な基礎地
盤の沈下を目的として帶鋼が盛土底面に敷設されている。また圧密
を促進するために深さ11.5mまでカンドドレーン

工法が採用されている。

3. 解析方法 解析には主応力軸の回転による
異方性を考慮した弾塑性構成式(SEKIGUCHI and OHTA,
1977)に圧密(CHRISTIAN, 1968, CHRISTIAN and BOEHMER,
1970)を考慮した有限要素法プログラム(赤井・田村
, 1978)を用いている。解析に用いたパラメータを
表-1に示す。パラメータの決定は解析結果に少
ない影響を与えるが、ここではOHTA, MOCHI-
NAGA and KURIHARA (1980)と同じパラメータを用い
ている。入力は各々 $0.434 C_c$, $0.434 C_s$ であり、
 C_c は紫田(1963)の定義したダイレイタンシー係数
により導かれる。添字0は先行圧密状態を、添
字iは初期状態を表す。帶鋼・盛土の補強効果を
表現するために、地表面を構成する要素の凹凸を
軸方向に弾性的な挙動をする材料とみなし、盛土
の載荷によって生じた2節点間の相対変位を外力に換
算して、新たに液位拘束する方向に外荷重として与
え、その結果変化した要素剛性マトリックスを全体剛
性マトリックスに付与するという方法を採用している。
弾性定数は帶鋼 $2.1 \times 10^8 \text{ kN/m}^2$ 、盛土 $5.0 \times 10^3 \text{ kN/m}^2$
である。

4. 解析ケース 帯鋼の補強効果を調べるために帶
鋼および盛土の剛性の有無あるいは帶鋼の敷設位置を
変えて4ケース行っている。軟弱な表層であるTドビ
ト層厚および盛土速度の影響を調べるために、帶鋼・

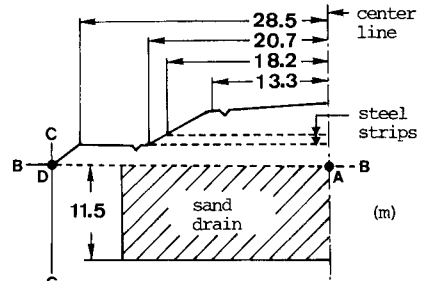


Fig.1 Cross sectional view of embankment

Table 1 Parameters used in calculation

type of soil	peat	clay with peat	sand	silty clay	sand	silty clay	sand	silty clay
depth (m)	0-3	3-6	6-7	7-9	9-11	11-18	18-19	19-30
λ	1.73	0.35	0.06	0.22	0.06	0.17	0.06	0.17
K	0.17	0.13	0.02	0.12	0.02	0.06	0.01	0.06
μ	0.23	0.17	0.04	0.13	0.04	0.11	0.04	0.11
σ_{v0} kN/m ²	20	50	200	70	200	180	1170	180
σ_i kN/m ²	14.7	36.7	146.7	51.3	146.7	132.0	858.0	132.0
e_0	7	1.6	0.8	1.2	0.8	1.1	0.7	1.1
K_0	0.6	0.6	0.6	0.6	0.6	0.6	0.6	0.6
σ_{v1} kN/m ²	1	9	20	31	20	85	120	172
e_i	7.51	1.82	0.85	1.30	0.85	1.15	0.72	1.1
K_i	1.4	1.1	0.6	0.75	0.6	0.76	0.6	0.6
m day ⁻³	6×10^{-3}	4.2×10^{-3}	2.1×10^{-3}	6.0×10^{-3}	2.1×10^{-3}	7.0×10^{-4}	3.5	7.0×10^{-4}

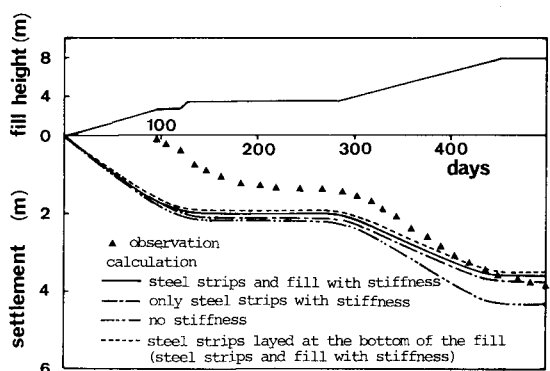


Fig.2 Settlement-time relation

盛土に剛性を付与した実際のピート層厚、盛土速度を基準として、各々2ヤース解析を行っている。

5. 帯鋼の盛土補強効果 図-2に盛土底面中央部(図-1 A点)沈下量の経時変化を示した。盛土載荷終了後の沈下量に注目すると、剛性を考慮するほど沈下量は小さくなる傾向がある。また計算値と実測値は良好な一致を示している。図-3には盛土法尻部鉛直断面(図-1 C-C断面)の側方変位の経時変化(計算値)を示している。図より明らかのように帯鋼を敷設することによって法尻部の側方変位はかなり拘束されることがわかる。さらに図-4には帯鋼を盛土底面(図-1 B-B面)に敷設したと仮定した場合の法尻部側方変位の計算値および実測値を示している。計算値は実測値の傾向を良く表しており、また法尻部が逆に盛土側へ入り込むという現象も追従している。

6. ピート層層厚の影響 図-5に

ピート層層厚を変化させた場合の法尻部側方変位を示す。ピート層層厚が増

大するほど側方変位量も増大する傾向を示す。盛土底面中央部沈下の経時変化も同様の傾向を示す。

7. 盛土速度の影響 図-6に盛土速度を変化させた場合の法尻部側方変位の経時変化を示す。盛土速度が増加するほど側方変位量も増大するが、盛土底面中央部沈下量はほとんど一定である(図略)。

8. まとめ MATSUO and KAWAMURA (1977)は盛土底面中央部沈下量と法尻部(図-1 D点)側方変位量とに注目し、 $d/d \sim d_0$ を整理することによつ

て盛土の安定を論じている。この方法を以上の計算結果に適用すると、帯鋼を用いた方が、あるいはピート層が薄く盛土速度が遅いほど盛土は安定することを確認している。

9. 謝辞 本発表をまとめるためにあたり、データの提供および貴重な御助言御討論を頂きました日本道路公団

持永龍一郎氏、栗原則夫氏に深甚の謝意を表します。

10. 参考文献 田村(1976), 京大工学研究年報, 第19巻B2, PP15~24. • CHRISTIAN, J.T. (1968), Proc.A.S.C.E., SM 6, pp 1333-1345. • CHRISTIAN, J.T. and BOEHMER, J.W. (1970), Proc.A.S.C.E., SM4, pp 1435-1457. • MATSUO, M. and KAWAMURA, K. (1977), Soils and Foundations, Vol.17, No.3, pp 37-52. • OHTA, H., MOCHINAGA, R. and KURIHARA, N. (1980) Third Australia-New Zealand Conf. on Geomechanics, pp 1-123-128. • SEKIGUCHI, H. and OHTA, H. (1977), Constitutive Equations of Soils, Proc. Speciality Session 9, Ninth Int. Conf. Soil Mech. Found. Engrg, Tokyo, pp 229-238. • 紫田(1963), 京大工学研究年報, 第6巻, PP128~134.

horizontal displacement (m)

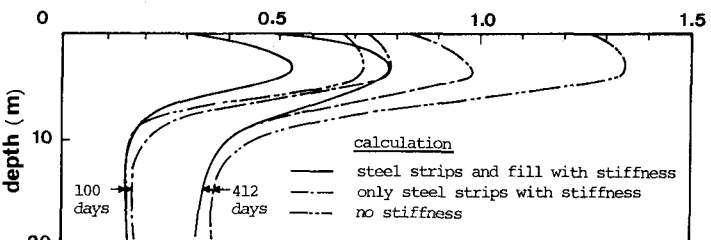


Fig.3 Horizontal displacement at the toe of embankment

horizontal displacement (m)

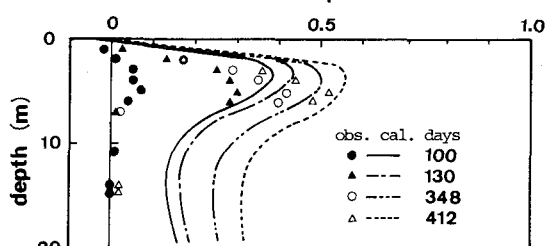


Fig.4 Effect of reinforcement of embankment

horizontal displacement (m)

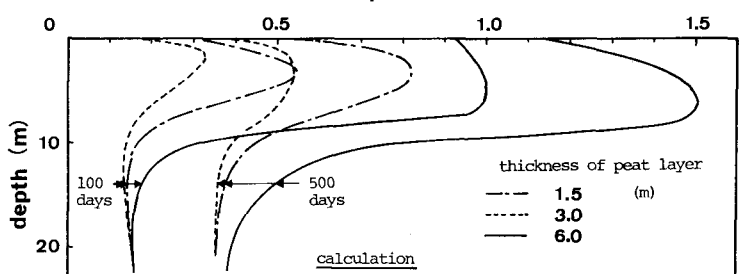


Fig.5 Effect of thickness of peat layer

horizontal displacement (m)

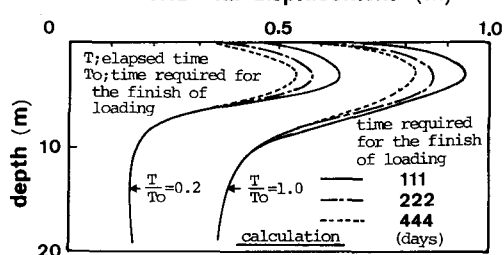


Fig.6 Effect of loading rate